

اندازه‌گیری قدرت رآکتور تحقیقاتی تهران (TRR) با استفاده از فعالیت گامای ایزوتوپ N^{16}

مهرداد عزیزی شمامی^۱، حسین قدس^۱، جواد رحیقی^۱ و جاوید دبیری^۲

۱. سازمان انرژی اتمی ایران، مرکز تحقیقات هسته‌ای، بخش فیزیک هسته‌ای، گروه فیزیک نوترون
۲. سازمان انرژی اتمی ایران، مرکز تحقیقات هسته‌ای، بخش تحقیقات و کارگردانی رآکتور

(دريافت مقاله: ۸۲/۹/۳۰؛ دریافت نسخه نهایی: ۸۲/۹/۹)

چکیده

برهمکنش نوترون سریع با اکسیژن موجود در آب خنک کننده قلب رآکتور، تولید هسته رادیواکتیو N^{16} می‌کند. این هسته رادیواکتیو پرتو گامایی با انرژی MeV ۶/۱۳ گسلی می‌نماید. با شمارش گامایی حاصل از این واپاشی بهوسیله یک آشکارساز یدور سدیم $NaI(Tl)$ $\Phi_{5/0.8cm} \times 5/0.8cm$ و با استفاده از رابطه خطی موجود بین فعالیت ایزوتوپ N^{16} و توان رآکتور، قدرت رآکتور را می‌توان تعیین کرد. جهت دریافت پاسخ مناسب، حفاظ آشکارساز طراحی و فاصله مناسب آن از لوله خروجی آب خنک کننده تنظیم گردید. با استفاده از الکترونیک تنظیم شده جهت شمارش پرتوی گامای N^{16} ، شمارش در قدرتهای مختلف انجام و سیستم بر حسب قدرت درجه‌بندی گردید. در این مقاله سعی شده است دلایل رفتار غیرخطی سیستم در قدرتهای بیشتر، مورد بحث و بررسی قرار گیرد.

واژه‌های کلیدی: نوترونهاي سریع - توان رآکتور - فعالیت پرتو گامای N^{16} - رفتار غیر خطی

۱. مقدمه

اندازه‌گیری مقدار دقیق قدرت رآکتور، در مبحث اینمنی رآکتور از اهمیت زیادی برخوردار است. همچنین این موضوع برای استفاده کاربران رآکتورهای تحقیقاتی جهت انجام آزمایش‌های مختلف مورد نیاز است. روشهای مختلفی برای اندازه‌گیری قدرت رآکتور وجود دارد. در زیر به چند روش که مورد استفاده بیشتری دارند اشاره می‌گردد [۱].

۱- روش کالریمتری^۱.

۲- اندازه‌گیری شار نوترون^۲.

۳- اندازه‌گیری قدرت توسط شدت اشعه چرنکوف^۳.

^۱. Cherenkov Power Monitor

^۲. N^{16} Power Monitoring System

۱. Thermal Power Monitoring With Calorimetric Method

۲. Neutron Flux Measurement

رآکتور منجر به تغییر در فعالیت N^{16} خواهد گردید.

بنابر این این سیستم نسبت به تغییرات سوم، تهی شدن سوخت و غیره حساس نمی باشد.

۳- سیستم N^{16} از اثرات پاره های شکافت حاصل از بمبارانهای نوترونی در قلب و همچنین پرتوهای گامای ناشی از آنها این است زیرا محل آن پشت دیواره بتونی حفاظ قلب است و به اندازه کافی از قلب دور می باشد.

۴- با انتخاب محل اندازه گیری که در فاصله ۳ متر از لوله خروجی آب خنک کننده قلب قرار دارد، می توان این آشکارسازی را از نوسانات جریان آب که توسط پمپ ایجاد می گردد، مستقل نمود.

۵- اتلاف انرژی حرارتی بر اثر مبادله آن با محیط اطراف هیچ گونه مشکلی برای این سیستم به وجود نمی آورد. زیرا در این سیستم از تغییرات دمای آب برای اندازه گیری قدرت رآکتور استفاده نشده است. تغییر چگالی آب قلب بر اثر افزایش دما و تأثیر آن بر شمارش سیستم در نمودار درجه بندی سیستم در نظر گرفته شده است.

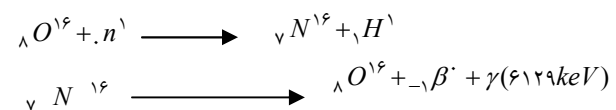
۶- این سیستم به لحاظ سرعت عملی که دارد هر گونه تغییر در قدرت رآکتور را بلا فاصله ثبت می نماید، زیرا با توجه به سرعت گردش آب در چرخه خنک کننده قلب رآکتور، اثرات تغییر شار نوترون های سریع قلب بر فعالیت آب، پس از مدت زمان کمی توسط سیستم N^{16} مشاهده می گردد. این موضوع در مبحث اینمی رآکتور از اهمیت به سزا بی برخوردار است. ضمناً با توجه به فرکانس شمارشگر سیستم (۲۰ مگا هرتز)، آهنگ شمارش زیاد برای سیستم هیچ گونه مشکلی ایجاد نمی نماید.

۳. روش و وسایل اندازه گیری

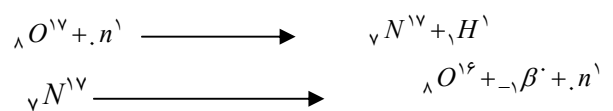
برای بررسی بیناب گامای محیط اطراف لوله خروجی آب خنک کننده قلب، از یک سیستم طیف نگاری گامای قابل حمل، شامل یک آشکارساز ی دور سدیم به ابعاد $5/0\text{ cm} \times 5/0\text{ cm} \times 5/0\text{ cm}$ φ استفاده شده است. با بررسی بیناب چشممهای Cs^{137} و Co^{60} مشخص گردید که قدرت تفکیک این آشکارساز برای انرژی $662 keV$ ، 13% و برای

فعالیت ایزوتوپ N^{16} متناسب با شار نوترون سریع قلب رآکتور و بنابر این معیاری از قدرت رآکتور خواهد بود. به این ترتیب می توان قدرت رآکتور را تخمین زد.

استفاده از N^{16} به عنوان نمایشگر قدرت^۱، بر این اساس استوار است که فعالیت این ایزوتوپ ناشی از رادیواکتیویته ذاتی، در اثر واکنش $O(n,p)N^{16}$ در آب خنک کننده می باشد. پرتو گامای ناشی از واپاشی N^{16} به دلیل انرژی زیاد به راحتی قابل آشکارسازی می باشند. واکنشهای نوترون با اکسیژن موجود در آب به صورت زیر می باشد:



واکنش مهم دیگر، واکنش $O(n,p)N^{17}$ ^{۱۷} می باشد که این واکنش نیز آستانه انرژی $10 MeV$ دارد [۱، ۲، ۳]. واکنش نوترون با ایزوتوپ O^{17} به صورت زیر می باشد:



اطلاعات مربوط به دو واکنش فوق در جدول ۱ قابل مشاهده است. به دلایل ذکر شده، ایزوتوپ N^{17} سهم کوچکی از فعالیت ذاتی خنک کننده را دارا می باشد. به دلیل تفاوت در سطح مقطع این دو واکنش، نسبت Dz/N^{16} به N^{17} برابر 257 به 1 می باشد. بنا بر این پرتوزایی ایزوتوپ N^{16} بیشترین میزان فعالیت مربوط به خنک کننده را به خود اختصاص می دهد و پرتو گامای آن شاخص تعیین کننده قدرت رآکتور خواهد بود.

۲. مزیتهای سیستم نمایشگر قدرت با روش N^{16}

۱- اندازه گیری قدرت توسط سیستم N^{16} فقط با استفاده از گامای حاصل از تلاشی ایزوتوپ N^{16} انجام می شود و گامای حاصل از ناخالصیها دخالتی در اندازه گیری ندارد.

۲- از شار نوترون سریع و تأثیرات آن در آشکارسازی قدرت توسط سیستم استفاده گردیده است. فقط تغییر در قدرت

۱. Power Monitor

جدول ۱. اطلاعات مربوط به واکنشهای $^{16}O(n,p)N^{16}$ و $^{17}O(n,p)N^{17}$

درصد فراوانی اکسیژن در آب راکتور	سطح مقطع متوسط واکنش برای بیناب نوترون شکافت(میلی بارن)	نوع واپاشی	نیمه عمر ایزوتوپ تولید شده(ثانیه)	انرژی آستانه (MeV)	واکنش
۹۹/۸	۰/۰۲	$\gamma(6129\text{ keV } \%67)$ $\gamma(7115\text{ keV } \%5), \beta$	۷/۳۵	۱۰	$^{16}O(n,p)N^{16}$
۰/۰۳۹	۰/۰۰۷	Neutron (1 MeV), β	۴/۱۴	۱۰	$^{17}O(n,p)N^{17}$

گردید. قبل از این کار با استفاده از یک تحلیل گر تک کاناله^۱، تپ ساز^۲ و تحلیل گر چند کاناله^۳، پنجره خاصی جهت شمارش پالسهای مربوط به قله‌های انرژی $6/13\text{ MeV}$ ایزوتوپ N^{16} تنظیم گردید. این پنجره شامل قله اصلی ایزوتوپ $N^{16}(6/13\text{ MeV})$ ، $Double escape (5/11\text{ MeV})$ و $Single escape (5/62\text{ MeV})$ می‌باشد. شکل ۲ الکترونیک شمارش را نشان می‌دهد.

۴. بررسی پاسخ سیستم نسبت به تغییرات دما
تأثیر تغییرات دما بر بهره تقویت‌کننده و الکترونیک سیستم و همچنین تأثیر دما بر بهره نوری سوسوزن با قرار دادن سیستم بیناب نگاری در دماهای مختلف مورد ارزیابی قرار گرفت. این تغییرات چنانچه قابل ملاحظه باشند، می‌توانند در تعداد شمارشها که در محدوده تحلیلگر تک کاناله قرار می‌گیرند دخالت کنند و موجب بروز خطا در اندازه‌گیری قدرت گردند. با تغییر دما از حدود 11°C (دمای اطاق در طول شب) تا حدود 26°C (دمای اطاق در گرمترین زمان روز) ، تغییرات بهره سیستم بیناب نگاری قابل صرفنظر کردن بود. زیرا در این محدوده دما، تغییرات در حدود Ch/C^3 بود که در مقایسه با عرض پنجره اثر تغییرات در حدود $16/130\text{ keV}$ ایزوتوپ N^{16} مهیا نبود، لذا اثر تغییرات دما بر انرژی 662 keV ایزوتوپ Cs^{137} در محیط آزمایشگاه بررسی

انرژی V^{16} $1332/5\text{ keV}$ می‌باشد. بنابر این، این آشکارساز از قدرت تفکیک لازم جهت تشخیص انرژی ایزوتوپ N^{16} برخوردار است.

جهت مشاهده پرتوهای گاما ایزوتوپ N^{16} که انرژی آن 6129 keV می‌باشد، ابتدا سیستم طیف‌نگاری از نظر انرژی کالیبره گردید. این کار با استفاده از اندازه‌گیری بیناب پرتوهای گاما چشممه $^{241}Am-Be$ $^{2230}\text{ keV}$ مربوط به گاما آنی هیدروژن حاصل از جذب تابش‌زای نوترونهای حرارتی چشممه ^{241}Be $^{4430}\text{ keV}$ با آن و ^{241}Am مربوط به تراز تحریکی کربن در چشممه $^{241}Am-Be$ جهت درجه‌بندی انرژی MCA مورداستفاده قرار گرفتند.

پس از درجه‌بندی سیستم، به هنگام کار راکتور در قدرت $3/5\text{ MW}$ بیناب گاما محیط اطراف لوله خنک‌کننده مورد بررسی قرار گرفت. لازم به ذکر است که با توجه به فعالیت بسیار زیاد محیط اطراف لوله خروجی آب خنک‌کننده قلب راکتور، قبلا در مراحل مختلف حفاظ آشکارساز ی دور سدیم بهینه‌سازی گردید. این کار به این دلیل انجام شد که آهنگ شمارش سیستم تا حدی کم شود که زمان مرده آشکارساز به مقدار قابل قبولی کاهش یابد و قله‌های انرژی مربوط به ایزوتوپ N^{16} در مدت زمان کمی قابل مشاهده باشند. بیناب گاما اطراف لوله خروجی آب خنک‌کننده قلب راکتور در شکل ۱ قابل مشاهده است. با استفاده از یک شمارشگر ارتک 776 ، شمارشها مربوط به پرتوهای گاما ایزوتوپ N^{16} ثبت

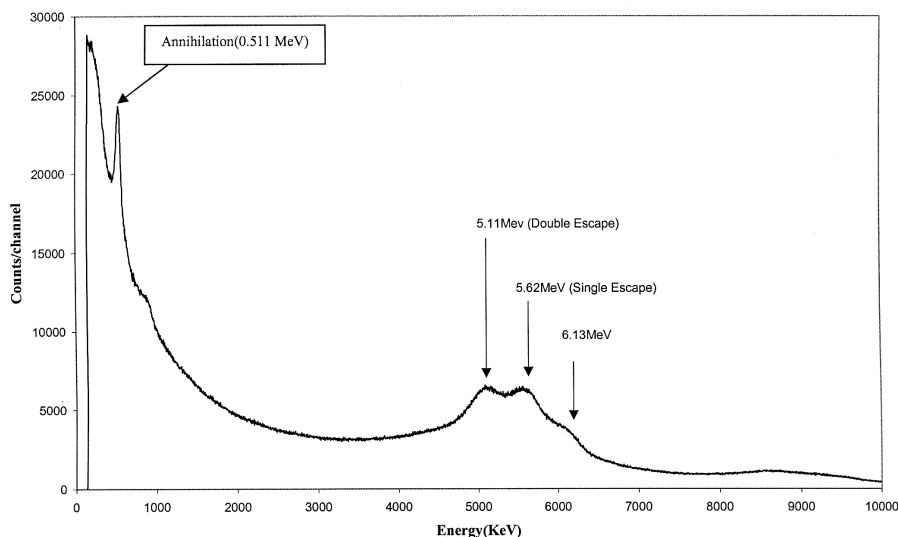
۱. Single Channel Analyzer(SCA)

۲. Research Pulser

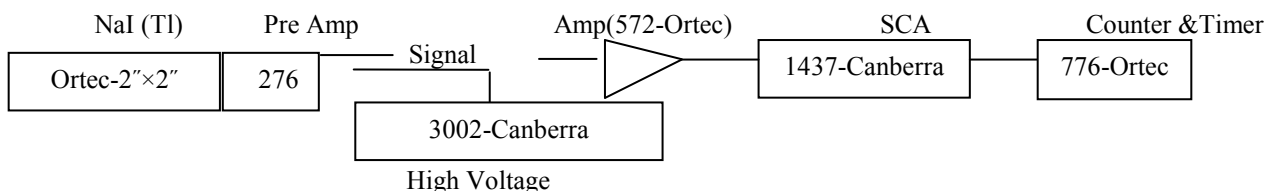
۳. Multi Channel Analyzer(MCA)

جدول ۲. تغییرات مکان کاتال مرکزی قله‌های چشمی ^{137}Cs و پالسر نسبت به دما

دما (درجه سانتیگراد)	کاتال مرکزی قله چشمی $^{137}\text{Cs}(662\text{keV})$	کاتال مرکزی قله پالسر
۱۰/۸	۸۲۷	۱۴۹۴
۱۱/۳	۸۲۴	۱۵۰۰
۱۳/۳	۸۱۶	۱۵۰۶
۱۵/۰	۸۰۶	۱۵۱۳
۱۸/۰	۸۰۱	۱۵۲۱
۲۰/۰	۷۹۶	۱۵۲۶
۲۶/۲	۷۸۸	۱۵۳۲



شکل ۱. بیناب گامای سیستم N^{16} در محیط اطراف لوله خروجی آب خنک‌کننده قلب به هنگام کار راکتور در قدرت $MW/35$ پس از بهینه‌سازی حفاظ آشکارساز یدور سدیم.

شکل ۲. الکترونیک شمارش N^{16} .

با مقایسه بیناب گامای سیستم در قدرتهای مختلف، هیچ‌گونه جابه‌جایی در انرژی سیستم مشاهده نمی‌شود. شکل ۳ بیناب گامای حاصل از چشمی ^{137}Cs را در دمای‌های مختلف $26/2^{\circ}\text{C}$ و $10/8^{\circ}\text{C}$ نشان می‌دهد. جابه‌جایی قله پالسر تأثیرات دما بر الکترونیک سیستم و

گردید. چون این جابه‌جایی با انرژی نسبت تقریباً خطی دارد، جابه‌جایی انرژی $keV/6130$ ایزوتوپ N^{16} حدود ۲۸ $Ch/\text{m}^3\text{C}$ خواهد بود که هنوز در مقایسه با عرض پنجره شمارش سیستم قابل صرفنظر است. ضمناً با توجه به شکل ۵ و

سیستم می‌تواند در هر ثانیه مقدار $200/000$ شمارش را بدون هیچ‌گونه مشکلی انجام دهد. در صورتی که کل سیستم حداقل $10/000$ شمارش را در ثانیه ثبت می‌نماید.

در مرحله دوم ارتباط میان کاهش قدرت رآکتور و افزایش دمای آب قلب بررسی گردید. با توجه به اینکه ایجاد هر گونه راکتیویته منفی که به سبب تولید سوموم در قلب (زینان، ساماریوم و...) و نیز کاهش ضربیه تکثیر بر اثر افزایش دما حاصل می‌شود، توسط میله تنظیم‌کننده قدرت جبران می‌شود، قدرت رآکتور همواره مقداری ثابت است [۴].

در آخرین مرحله ارتباط بین افزایش دمای آب خنک‌کننده در قدرتهای بالاتر و کاهش چگالی آن و در نتیجه افزایش نشت نوترونهای سریع از قلب و کاهش شمارش سیستم N^{16} مورد توجه قرار گرفت. کاهش چگالی آب سبب کاهش تعداد اتمهای آب در واحد حجم و بدنبال آن کاهش تعداد واکنش نوترونهای سریع با اتمهای اکسیژن موجود در آب و نیز نشت بیشتر نوترونهای سریع از قلب و در نتیجه کاهش تولید ایزوتوپ N^{16} می‌گردد. از طرف دیگر این موضوع سبب کاهش جرم آب عبوری از مقابله آشکارساز سیستم N^{16} خواهد گردید. به این ترتیب انتظار می‌رود پس از افزایش قدرت رآکتور تا زمانی که حرارت ایجاد شده به کل آب خنک‌کننده منتقل شده و دمای آب در تمام نقاط آن همگن شود، دمای آب خروجی از قلب به تدریج افزایش یافته و پس از مدتی به مقدار ثابتی برسد. در طول این مدت شمارش سیستم به تدریج کم شده و در نهایت به مقدار ثابتی خواهد رسید. این پدیده در تغییر قدرت با گامهای بزرگتر محسوس‌تر است.

برای اثبات این موضوع به توضیح مراحل آزمایش درجه‌بندی N^{16} می‌پردازیم. در ابتدای شروع آزمایش، رآکتور در قدرت 4 مگاوات در حال کار بود و قدرت و دمای آب خروجی مقدار ثابتی بودند. این مقادیر ثبت گردیدند و قدرت رآکتور به $۰/۵$ مگاوات کاهش یافت. سپس در قدرتهای $۰/۵$ ، ۱ ، ۲ ، ۳ و

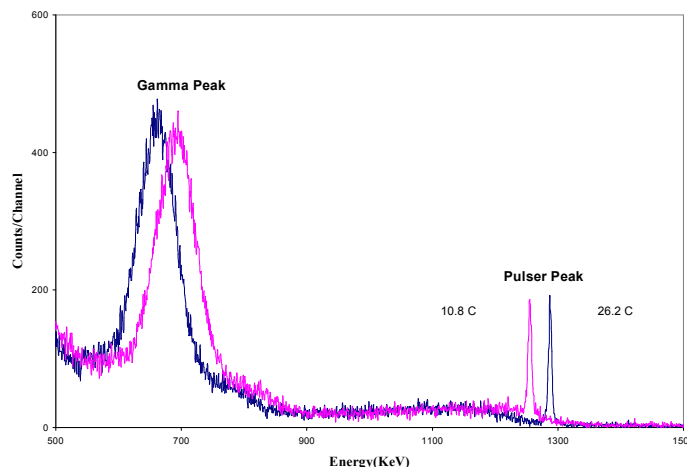
جابه‌جایی قله گاما، تأثیر تغییرات دما بر کل سیستم بیناب نگاری شامل سوسوزن، فتو مولتی پلایر و الکترونیک را نشان می‌دهد. در این مرحله سعی گردید تا زمان شمارش بهینه سیستم معین گردد. بنابر این در بازه‌های زمانی ۱ ، ۲ ، ۱۰ و ۳۰ و ۶۰ ثانیه با بیست بار تکرار شمارش برای هر بازه زمانی، بررسیهای آماری مربوطه انجام گردید. بازه زمانی ۱۰ ثانیه با توجه به آمار خوب شمارشهای آن و نیز زمان عکس العمل کارگردانان رآکتور مناسب تشخیص داده شد.

در نهایت شمارش سیستم N^{16} در قدرتهای مختلف $۰/۵$ ، ۱ ، ۲ ، ۳ و ۴ مگاوات، با تکرار ده بار شمارش برای هر قدرت و میانگین‌گیری از داده‌ها، ثبت گردید. قدرتهای مورد استفاده در این درجه‌بندی توسط روش استفاده از اتاقک شکافت با خطای کمتر از ۱۰% می‌باشد. پس از رسم منحنی شمارش بر حسب قدرت می‌توان با برآش یک خط بر نقاط به دست آمده و تعیین معادله این خط در هر زمان با داشتن شمارش سیستم قدرت رآکتور را مشخص نمود. شکل ۴ نمودار مربوط به درجه‌بندی سیستم شمارش N^{16} را بر حسب قدرت رآکتورنمایش می‌دهد.

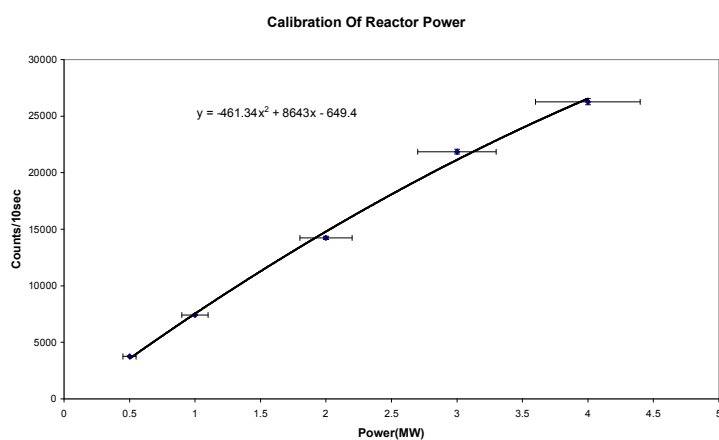
۵. بحث و نتیجه‌گیری

نمودارشکل ۴ ، نشان می‌دهد که تغییرات شمارش سیستم N^{16} بر حسب قدرت رآکتور خطی نیست. اندازه‌گیریهای مکرر نشان دادند که نتایج به دست آمده تکرار پذیرند. برای یافتن دلیل این پدیده، در مرحله اول بیناب گامای سیستم N^{16} در قدرتهای مختلف در مقایسه با یکدیگر ثبت گردید (شکل ۵). با توجه به پنهانی پنجره شمارش سیستم، هیچ‌گونه جابه‌جایی در محدوده انرژی سیستم مشاهده نشد. بنابر می‌توان نتیجه گرفت که این کاهش شمارش سیستم در قدرتهای بیشتر و انحراف نمودار درجه‌بندی از حالت خطی هیچ‌گونه ارتباطی با جابه‌جایی انرژی سیستم ندارد.

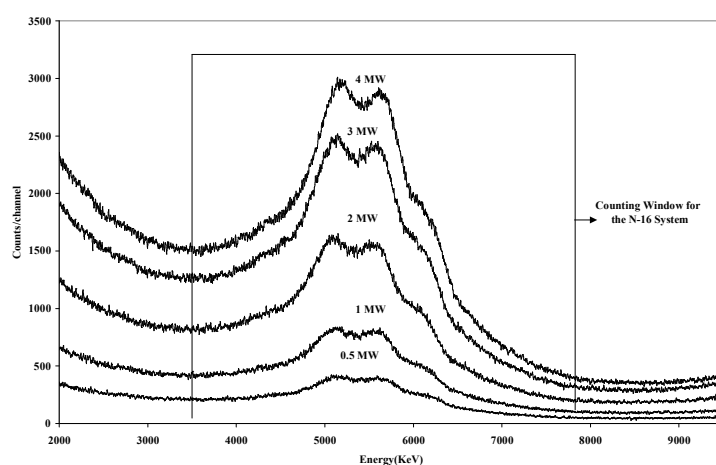
ضمیماً با توجه به زمان مرده سیستم شمارش شامل سوسوزن، پیش تقویت‌کننده، تقویت‌کننده، تحلیلگر تک کاناله و شمارشگر که فرکانس آن در حدود پنج میکرو ثانیه است



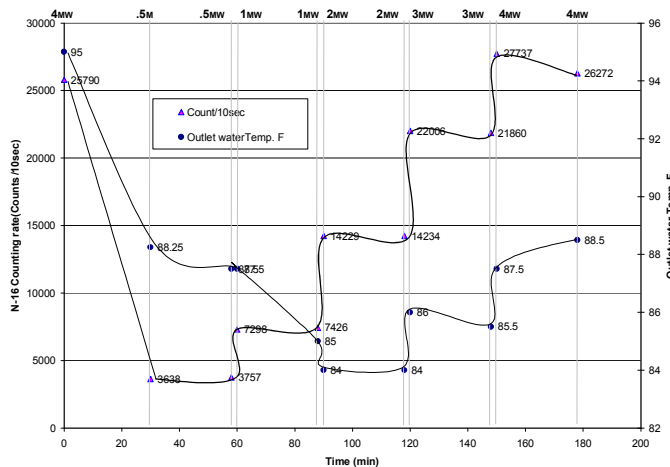
شکل ۳. مقایسه بیناب سیستم برای چشم ^{137}Cs و پالسر در دو دمای ۱۰/۸ و ۲۶/۲ درجه سانتیگراد.



شکل ۴. نمودار درجه‌بندی سیستم ^{16}N بر حسب قدرت رآکتور.



شکل ۵. بیناب گاما سیستم ^{16}N در قدرتهای مختلف و پنجره شمارش سیستم.



شکل ۶. نمودار تغییرات قدرت، دمای آب خروجی قلب و آهنگ شمارش سیستم N^{16} بر حسب زمان انجام آزمایش.

دمای آب خنک‌کننده بر اثر افزایش قدرت رآکتور سبب کاهش چگالی آب و نیز افزایش نشت نوترون‌های سریع از قلب گردیده و آهنگ شمارش سیستم N^{16} را کاهش می‌دهد.

به هر حال هر چند آهنگ شمارش این سیستم بر حسب قدرت رآکتور در قدرتهای بیشتر از ۱ مگاوات اندکی رفتار غیرخطی دارد، اما هنوز می‌توان با استفاده از این سیستم قدرت رآکتور را در هر لحظه با دقت قابل قبول تخمین زد. ضمناً با توجه به پاسخ سریع این سیستم نسبت به تغییرات قدرت، وجود چنین سیستمی در کنار سایر سیستمهای تعیین قدرت رآکتور که از سرعت عمل کمتری برخوردارند، به لحاظ ایمنی بسیار با اهمیت است.

تنظیم و درجه‌بندی سیستم از اتاق کنترل رآکتور قابل انجام است و می‌توان آن را توسط کارشناسان گروه فیزیک نوترون و با همکاری گروه کارگردانی رآکتور انجام داد. ضمناً این سیستم باید حداقل هر دو ماه یکبار مورد بازبینی، تنظیم و درجه‌بندی قرار گیرد.

قدرتانی

بر خود لازم می‌دانیم از خدمات ارزنده آقای فرهاد ذنوی، تکنسین گروه فیزیک نوترون که در تمامی مراحل فنی کار

۴ مگاوات شمارش سیستم N^{16} و همچنین دمای آب خروجی از قلب یکبار در لحظه ابتدای تغییر قدرت و بار دیگر حدود ۲۰ دقیقه پس از تغییر قدرت ثبت گردید. سپس نمودار تغییرات قدرت، شمارش سیستم N^{16} و دمای آب خروجی قلب بر حسب زمان انجام آزمایش رسم گردید (شکل ۶).

پس از تغییر قدرت از ۴ به $0/5$ مگاوات، دمای آب قلب هنوز همگن نشده بود. بنابر این در این مرحله سیر نزولی دما را شاهد بودیم. قسمتهای تقريباً افقی نمودار شمارشها و دماها را بلاfaciale پس از تغییر قدرت و ۲۰ دقیقه پس از آن به هم وصل نموده‌اند. در قسمت نزولی نمودار چون دمای ثانویه از دمای اولیه کمتر است شمارش‌های مرحله دوم از مرحله اول بیشتر است (دمای آب هنوز همگن نشده است). ولی در قسمت صعودی نمودار دمای ثانویه از دمای اولیه بیشتر است و شمارشها نیز پس از ۲۰ دقیقه انتظار کاهش یافته‌اند.

ضمناً پس از بازگشت مجدد به قدرت ۴ مگاوات چون هنوز دمای آب $31/4$ درجه سانتیگراد ($88/5$ درجه فارنهایت) است و هنوز به دمای 35 درجه سانتیگراد (95 درجه فارنهایت) ابتدای آزمایش نرسیده است، شمارش‌های سیستم N^{16} در حدود ۲۶۲۷۲ بوده و پس از مدت زمان مناسب به شمارش ابتدای آزمایش نزدیک خواهد شد. تحلیل ارائه شده نشان می‌دهد که افزایش

کارگردانی راکتور، همچنین آقایان مستوفی، ولیپور و اسلامی کارگردانان راکتور و کلیه همکارانی که با راهنماییها و همکاریهای صمیمانه خود، گروه فیزیک نوترون را در انجام این طرح یاری نمودند، تشکر و قدردانی می‌گردد.

با ما فعالانه همکاری داشته‌اند، کمال تشکر را ابراز داریم. همچنین از همکارمان آقای مهندس عظیم احمدی نیار به‌خاطر راهنماییهای ارزنده ایشان صمیمانه قدردانی می‌نماییم.

همچنین از آقای مهندس محمد ذاکر، ریاست بخش کارگردانی و تحقیقات راکتور، آقای آخوندی ریاست گروه

مراجع

2. E Drucker and W D Wallace, *Nuclear Science and Engineering*, 3 (1958) 215-231.
3. W J Henderson and P R Tunnicliffe, *Nuclear Science and Engineering*, 3(1958) 145-150.
4. John R Lamarsh, “ *Introduction to Nuclear Engineering*”, Second ed, Addison-Wesley, (1983).

1. Lu Yung-shen, “ Measurement of reactor power level by a nitrogen-16 monitor”, *A thesis in nuclear engineering*, The Pennsylvania State University, The Graduate School, Department of Nuclear Engineering (1964).